

پایش خشکسالی در مشهد

- با استفاده از شاخص خشکسالی پالمِر -

چکیده

خشکسالی پدیده‌ای اقلیمی بوده و به عنوان بخشی از اقلیم یک منطقه محسوب می‌شود. این پدیده برای خصوصیات است، که آن را از سایر بلایای طبیعی جدا می‌کند. تحقیقات انجام شده نشان می‌دهد که در بین حوادث طبیعی، خسارات ناشی از خشکسالی بیشترین مقدار را شامل است. لذا پایش گسترده آن و ایجاد یک نظام هشدار و پیش‌آگاهی در مناطق مستعد خشکسالی، امری اجتناب ناپذیر است. یکی از ابزارهای اصلی پایش خشکسالی، استفاده از شاخص‌های خشکسالی می‌باشد. نوشتار حاضر، شاخص شدت خشکسالی پالمِر را به عنوان الگوی معتبر و کاربردی، مورد استفاده قرار داده است. پارامترهای اصلی ورودی، شامل: بارندگی (P)، درجه حرارت (T) و مقدار آب قابل دسترس (AWC) است. در هر دوره، تبخیر-تعرق پتانسیل با استفاده از اطلاعات به دست آمده بر اساس الگوی دو لایه‌ای ذخیره‌ی رطوبت خاک محاسبه می‌شوند. در پایان نتایج خروجی الگو، که شاخص انحراف رطوبت ماهانه (Z) و شاخص شدت خشکسالی (X_i) می‌باشد، ارائه می‌شود. در این مقاله با استفاده از نرم‌افزاری که جهت محاسبه شاخص شدت خشکسالی پالمِر طراحی شده، این شاخص برای ایستگاه سینوپتیک مشهد طی دوره‌ی آماری (۲۰۰۳-۱۹۷۱ میلادی) محاسبه و ارائه گردیده است.

واژه‌های کلیدی: خشکسالی، شاخص خشکسالی، شاخص شدت خشکسالی پالمِر، درجه‌ی حرارت، بارندگی.

۱. درآمد:

خشکسالی بله‌ای است که از نبود آب (بارندگی) ناشی می‌شود و نبود آن به معنای نلبودی حیات است (آسیایی، مهدی، ۱۳۸۳: ۷۱). دانش بشری هنوز به آن اندازه توسعه نیافته که راهکارهای منلسی جهت رفع

کمبود بارندگی بیابد و از این رو پیش‌آگاهی و پیش‌بینی‌های دوره‌های خشک‌ترین رهکار در جلوگیری از بروز خسارات این پدیده‌ی زیان‌بخش است. هرچند این پیش‌بینی‌ها دقیق‌تر و فواصل زمانی آن طولانی‌تر باشد، ابعاد بحران محدودتر شده و برآورد و جبران خسارات ساده‌تر می‌شود. خشکسالی به عنوان یکی از پیچیده‌ترین بلایای طبیعی، پدیده‌ای خزنده به شمار می‌رود (آسیایی، مهدی، ۱۳۸۴: ۲۰). تداوم وقوع آن طولانی بوده و اثرات ناشی از آن حلت غیرساختاری داشته و در نتیجه خسارت‌های ناشی از این پدیده در بخش‌های مختلف، مانند کشاورزی، اجتماعی و غیره، به صورت تدریجی ظاهر می‌شود. نکته‌ی دارای اهمیت این است که خسارات و اثرات ناشی از خشکسالی برلبر یا بیشتر از خسارات ناشی از سایر بلایای طبیعی مثل سیل و زلزله می‌باشد (ولهایت، ۲۰۰۰: ۲۵۰). همچنین به دلیل طبیعت و ذات پنهانی این پدیده، تعیین زمان آغاز، گسترش و پایان آن بسیار دشوار است. این مسأله اهمیت پایش گسترده و یا ایجاد یک نظام هشدار و پیش‌آگاهی را در مناطق مستعد خشکسالی نشان می‌دهد. در این راستا استفاده از داده‌های ماهواره‌ای به منظور انجام پایش خشکسالی، همچنین کاربرد شاخص‌های خشکسالی در خلاصه‌سازی بسیاری از پارامترهای مؤثر در خشکسالی در سطوح مختلف برای برنامه‌ریزان مفید است. با استفاده از شاخص‌های خشکسالی می‌توان شدت و وسعت خشکسالی را کمی نموده و آن را به صورت دوره‌ای ارزشیابی کرد (آسیایی، مهدی، ۱۳۸۵: ۲۹). به‌طور کلی، شاخص‌های متعددی برای ارزشیابی خشکسالی به کار برده می‌شوند، که از آن جمله می‌توان به شاخص‌های زیر اشاره نمود:

- شاخص درصد نرمال^۱ (PN)؛
- شاخص استاندارد بارش^۲ (SPI)؛
- شاخص شدت خشکسالی پالمر^۳ (PDSI)؛
- شاخص دهک‌ها^۴؛
- شاخص خشکسالی بالم و مولی^۵ (BMDD)؛
- شاخص خشکسالی احیایی^۱ (RDI)؛

1. Percent of Normal
2. Standardized Precipitation Index
3. Palmer Drought Severity Index
4. Deciles
5. Bahlme and Mooley Drought Index

شاخص اندیس گیاهی^۲ (NDVI)؛

شاخص بارش مؤثر^۳ (EPI).

هریک از این شاخص‌ها فقط برای کاربردهای خاص در منطقه‌ی خاصی معتبر اند، که علت آن متغیر بودن شرایط هواشناختی مؤثر بر ایجاد پدیده‌ی خشکسالی از قطه‌ای به نقطه‌ی دیگر است (چونمرد، ۱۳۸۰: ۱۰). ولی برای مناطقی که دارای شرایط اقلیمی یکسانی هستند، می‌توان از شاخص‌های خشکسالی یکسانی استفاده نمود. در خصوص مقایسه‌ی شاخص PDSI و SPI و همچنین مزایا و محدودیت‌های آن می‌توان به موارد زیر اشاره نمود: نمایه‌ی SPI فقط بر اساس بارندگی محاسبه می‌شود، در حالی که محاسبه‌ی PDSI، مستلزم آن است که ۶۸ اصطلاح را در آن تعریف کنیم. همچنین نمایه‌ی SPI برخلاف PDSI، به شرایط رطوبت خاک بستگی ندارد، بنابراین می‌توان از آن برای ماه‌های زمستان نیز استفاده کرد. همچنین از تپوگرافی نیز تأثیر نمی‌پذیرد. از محدودیت‌های نمایه‌ی SPI، می‌توان به موارد زیر اشاره کرد:

۱. صحت و اعتبار SPI، به اندازه‌ی صحت و اعتبار داده‌های مورد استفاده است؛

۲. قبل از استفاده از SPI برای یک ایستگاه، اطلاعاتی درباره‌ی اقلیم ناحیه مورد نیاز است (ویلهایت، ۲۰۰۰: ۲۵۰).

اما نمایه‌ی پالمر یکی از روش‌های بسیار مؤثر در تعیین خشکسالی طولانی مدّت (چندماهه) می‌باشد، ولی به عنوان پیش‌بینی کوتاه‌مدت (چند هفته) جواب خوبی نمی‌دهد.

یکی از مهمترین امتیازات نمایه‌ی پالمر آن است که نسبت به شرایط اقلیم محلی استاندارد است، بنابراین می‌تواند در هر بخش از کشور جهت نشان دادن خشکسالی نسبی یا تسالی مورد استفاده قرار گیرد (آسیایی، ۱۳۸۵: ۵۰).

1. Reclamation Drought Index
2. Normalized Drought Vegetation Index
3. Effective Precipitation Index

۲. شاخص شدت خشکسالی پالمر

پالمر^۱ شاخص خشکسالی خود را، که ترکیبی از بارندگی رخ داده، ذخیره‌ی رطوبتی و نیاز رطوبتی است، براساس محاسبه‌ی بیلان آبی معرفی نمود. او از یک الگوی دولایه‌ای برای محاسبات رطوبت خاک استفاده کرد و فرضیه‌ی ویژه‌ای در ارتباط با ظرفیت پذیرش و انتقال رطوبت به لایه‌های مختلف خاک ارائه داد. پالمر شروع و پایان دوره‌ی خشکسالی و ترسالی برحسب احتمال زمان شروع و پایان آن را بیان کرد. یک دوره‌ی خشکسالی یا ترسالی وقتی به‌طور قطع اتفاق می‌افتد که این احتمال به ۱۰۰٪ رسیده یا از آن فراتر رود. اما دوره‌ی خشکسالی یا ترسالی وقتی ماه اول خود را به‌تمام می‌رسند که این احتمال از صفر بزرگتر بوده و همچنان بالای صفر بماند تا به ۱۰۰٪ برسد. این شاخص خشکسالی هواشناسی به نام PDSI یا شاخص شدت خشکسالی پالمر نامیده می‌شود (پالمر، ۱۹۶۵: ۵۸). این فرآیند برگشتی^۲ پایان دوره‌ی خشکسالی یا ترسالی نمی‌تواند به‌نحو شایسته‌ای برای محاسبات بهنگام شاخص شدت خشکسالی پالمر مورد استفاده قرار گیرد، زیرا مشخص نیست که در چند ماه آینده شاهد آغاز یک دوره‌ی خشکسالی هستیم یا ترسالی؟ و یا این که با توقف دوره‌ی خشکسالی جاری یا ترسالی روبرو هستیم. این الگوی اندیس (X₁) را برای خشکسالی جاری (رخ داده) و اندیس (X₃) را برای دوره ترسالی در حال شروع محاسبه می‌کند. محاسبات مشابهی را نیز برای ترسالی جاری (X₂) و خشکسالی در حال شروع (X₃) انجام می‌دهد. براساس احتمال این که کدلیک از دوره‌های خشکسالی یا ترسالی در حال اتمام باشند، الگوی X₁، X₂ یا X₃ را برای محاسبه‌ی PDSI انتخاب می‌کند. سرویس ملی هواشناسی آمریکا^۳ (NWS) این لگور را با یک الگوی تعمیم یافته‌ی PDSI در سال ۱۹۹۰ میلادی تلفیق نمود. این الگوی تعمیم یافته اجازه می‌دهد تا PDSI از طریق جمع احتمال وقوع خشکسالی و ترسالی (P و P-۱۰۰)، که در آن P احتمال وقوع پدیده‌ای است که دوره آن پایان می‌یابد، به‌دست آید. از همان ابتدا شاخص پالمر به‌عنوان «یک روش مناسب برای تلفیق بارندگی و دما به‌عنوان یک متغیر پیش‌بینی» شناخته شد. شاخص پالمر به‌طور گسترده در ایالات متحده‌ی آمریکا مورد استفاده قرار گرفت و پس از تعمیم آن به سایر مناطق جهان، نتایج آن با هم تلفیق گردید (گوگان، ۱۹۹۵: ۶۸-۶۵۵).

1. Palmer

2. Back-stepping

3. Nation Weather Service

در این مقاله پس از معرفی شاخص شدت خشکسالی پالم (PDSI) به عنوان الگوی معتبر و کاربردی، به منظور کاربرد شاخص شدت خشکسالی پالم در ارزشیابی خشکسالی های خراسان در پژوهشکده اقلیم‌شناسی نرم‌افزار خاصی طراحی گردیده است، که ضمن بیان عوامل مؤثر در محاسبات و روابط ریاضی حاکم بر آنها، طرح واره‌ی محاسبه‌ی این شاخص نیز ارائه می‌شود. مفهیم اساسی و روش محاسبه‌ی شاخص شدت خشکسالی پالم به همراه نمونه‌ی محاسبات انجام شده برای مشهد طی دوره‌ی آماری ۲۰۰۳-۱۹۷۱ میلادی بیان می‌شود.

۳. مواد و روش‌ها

در این مطالعه از داده‌های ایستگاه سینوپتیک مشهد استفاده شده است. شاخص PDSI، بر اساس داده‌های بارش و دما و نیز مقادیر رطوبت در دسترس خاک (AWC)^۱ محاسبه می‌شود. از میان ورودی‌های محاسباتی تمامی کمیت‌های اصلی معادله‌ی بیلان آبی، نظیر تبخیر-تعرق، تغذیه‌ی خاک، رواناب و تلفات رطوبتی از لایه‌ی سطحی قابل تعیین و محاسبه است (میلر، ۱۹۹۴: ۴۴). البته اثرات فعالیت‌های انسانی بر این موازنه (بیلان) نظیر آبیاری - در نظر گرفته نشده است. PDSI صرفاً شاخص هواشناسی نیست، بلکه بیشتر به آن شاخص خشکسالی هیدرولوژیکی پالم (PHDI)^۲ گفته می‌شود. چرا که مبنای آن وضعیت رطوبتی فعلی (بارش)، جریانات خروجی و ذخیره‌ی رطوبت بوده و روندهای درازمدت را لحاظ می‌نماید (گاتمن، ۱۹۹۱: ۶۷). پالم شاخص PDSI را جهت ردیابی و نشان‌دادن تأثیر دوره‌های مداوم خشکسالی (یا دوره‌های ترسالی) در شاخص‌های خشکسالی معرفی نمود. دلیل و لگزه‌ی او برای تدوین شاخص بالا این بود که وجود یک ماه مرطوب در میانه‌ی خشکسالی درازمدت اثر مهمی بر جای نمی‌گذارد، به عبارت دیگر یک سری ماهها با بارندگی نزدیک به نرمال پس از یک خشکسالی جدی به معنای پایان خشکسالی نیست. جدول (۱) درجه‌بندی شاخص شدت خشکسالی پالم را نشان می‌دهد که از شرایط بسیار زیادتر تا بسیار زیاد خشک را شامل می‌شود. عوامل مؤثر در محاسبه و ارزشیابی و طرح واره‌ی شاخص شدت خشکسالی پالم به ترتیب در جدول (۲) و شکل (۱) ارائه شده است.

1. Available Water Content
2. Palmer Hydrological Drought Index

جدول (۱) طبقه‌بندی خشکسالی بر اساس شاخص PDSI

درجه‌ی خشکسالی	ارزش PDSI
ترسالی بسیار شدید	۴ یا بیشتر
بسیار مرطوب	۳ تا ۳/۹۹
ترسالی متوسط	۲ تا ۲/۹۹
تقریباً مرطوب	۱ تا ۱/۹۹
تا حدی مرطوب	۰/۵ تا ۰/۹۹
تقریباً نرمال	۰/۴۹ تا -۰/۴۹
تا حدی خشک	-۰/۵ تا -۰/۹۹
خشکسالی خفیف	-۱ تا -۱/۹۹
خشکسالی متوسط	-۲ تا -۲/۹۹
خشکسالی شدید	-۳ تا -۳/۹۹
خشکسالی بسیار شدید	-۴ یا کمتر

جدول (۲) تجزیه و تحلیل عوامل مؤثر در محاسبه و ارزشیابی شاخص شدت خشکسالی پالم

پارامتر	محاسبه‌ی پارامتر	توضیح
P	Precip. (in.)	بارندگی ماهانه (in.)
T	Temp. (°F)	دمای متوسط ماهانه (°F)
PE	Pot. Evapotr.	تبخیر و تعرق پتانسیل ماهانه (روش تورنت وایت)
P-PE		تبخیر و تعرق - بارندگی
ΔS_s	Sfc. moist chg.	تغییرات رطوبت خاک در سطح
S_s	Sfc. Moist	مقدار رطوبت موجود در لایه‌ی سطحی خاک در پایان ماه (in.)
ΔS_u	Subsil moist. chg.	تغییرات رطوبت خاک زیرین
S_u	Subsoil moist.	مقدار رطوبت موجود در خاک زیرین در پایان ماه (in.)

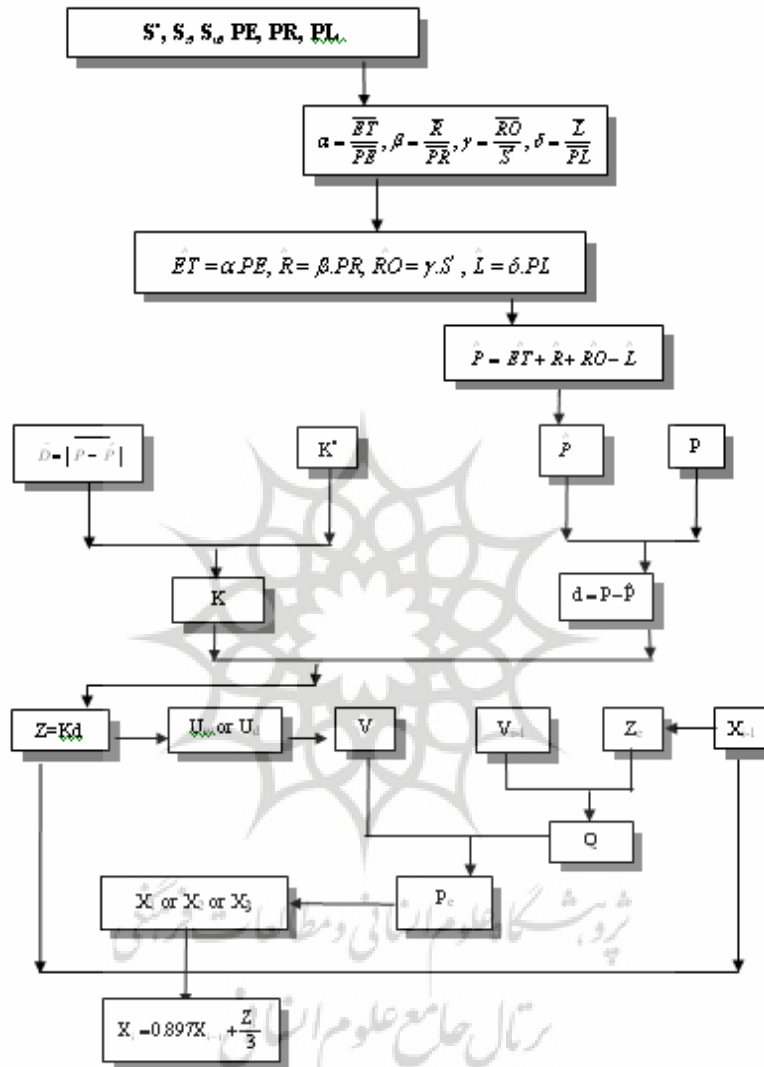
پارامتر	محاسبه پارامتر	توضیح
S'	Initial moist	رطوبت اولیه‌ی خاک
PR	Pot. recharge	پتانسیل تجدید رطوبت؛ مقدار اینچ رطوبت مورد نیاز برای رسیدن به ظرفیت مزرعه در ابتدای ماه
R	Moist. recharge	ذخیره‌ی مجدد ماهانه، رطوبت دریافتی خالص در لایه‌ی زیرین و سطحی خاک
L	Moist. loss	اتلاف رطوبت ماهانه از لایه‌ی زیرین و سطحی خاک
ET	Evapot.	تبخیر و تعرق حقیقی ماهانه
RO	Runoff	رواناب ماهانه
PL	Pot. Moist loss	پتانسیل کاهش آب ماهانه، مقدار اینچ رطوبت مورد نیاز برای رسیدن به نقطه‌ی پژمردگی مزرعه در ابتدای ماه
α	$\frac{\overline{ET}}{\overline{PE}}$	ضریب تبخیر (وای دوره‌ی آماری ۳۰ ساله)
β	$\frac{\overline{R}}{\overline{PR}}$	ضریب تجدید رطوبت (وای دوره‌ی آماری ۳۰ ساله)
γ	$\frac{\overline{RO}}{\overline{S'}}$	ضریب رواناب (وای دوره‌ی آماری ۳۰ ساله)
δ	$\frac{\overline{L}}{\overline{PL}}$	ضریب کاهش رطوبت (برای دوره‌ی آماری ۳۰ ساله)
\hat{ET}	$\alpha \cdot PE$	تبخیر و تعرق برآوردی ماهانه
\hat{R}	$\beta \cdot PR$	تجدید رطوبت خاک برآوردی ماهانه
\hat{RO}	$\gamma S'$	رواناب برآوردی ماهانه
\hat{L}	δPL	اتلاف رطوبت خاک برآوردی ماهانه
\hat{P}	$\hat{ET} + \hat{R} + \hat{RO} - \hat{L}$	بارندگی ماهانه برآوردی
D	$P - \hat{P}$	انحراف ماهانه در یک ماه معین
K	Weight factor	عمل توزینی
Z	Kd	نمایه‌ی انحراف رطوبت
U_w	$Z+0.15$	مقدار تری مؤثر در پایان دوره‌ی خشک
U_d	$Z-0.15$	مقدار خشکی مؤثر در پایان دوره‌ی مرطوب
V	$\sum U$	مقدار تجمعی U_w یا خشکی U_d
Z_c	$-2.691 X_{i-1} \pm 1.50$	نیاز غیر معمول به رطوبت برای پایان دادن یک پدیده در یک ماه
Q	$Z_c + V_{i-1}$	
P_c	V/Q	
Z/3		
X	Final index	شاخص شدت خشکسالی (یا تسلی) بدون علامت می‌باشد

روش محاسبه‌ی PDSI

داده‌های اندازه‌گیری شده بارش و دمای هوا به صورت ماهانه ورودی اصلی این برنامه است. طراحی این نرم‌افزار به گونه‌ای است که اطلاعات ورودی سازگار با سیستم متداول کشور باشد و تبدیل واحدها در طول اجرای برنامه به صورت خودکار انجام شود. عرض جغرافیایی محل (ϕ) و ظرفیت قبول آب خاک (AWC) مطلقه‌ی مورد مطالعه از دیگر ورودی‌های این برنامه است. همان‌گونه که در جدول (۳) مشاهده می‌شود، ورود اطلاعات به سیستم در همان چهار ستون اولیه انجام می‌شود. تعیین وضعیت رطوبت خاک، که مبنای محاسبات بعدی در تعیین PDSI است، با استفاده از معادله‌ی ییلان آبی تورنت ویت انجام می‌شود. لذا پس از ورود اطلاعات بارندگی، دما، عرض جغرافیایی و ظرفیت قبول آب خاک (جدول ۳) محاسبات با تعیین تبخیر-تعرق ماهانه به روش تورنت ویت آغاز می‌شود. (تورنت ویت، ۱۹۵۵: ۳۴۶).

جدول (۳) ورود اطلاعات و محاسبه‌ی تبخیر-تعرق به منظور محاسبات PDSI

YEAR	Month	P (mm)	T (c)	Lat	i	Alfa	ETP(mm)
	Jan	۳۰/۱	۳/۷	۳۶/۵	۰/۶۲	۱/۷	۳۶
	Feb	۳۰/۷	۶/۲	۳۶/۵	۱/۳۸	۱/۷	۹/۱
	Mar	۳۵/۷	۹/۴	۳۶/۵	۲/۵۸	۱/۷	۲۳/۰
	Apr	۶۱/۴	۱۵/۱	۳۶/۵	۵/۳۰	۱/۷	۵۵/۷
	May	۴۰/۲	۱۸/۲	۳۶/۵	۷/۰۴	۱/۷	۸۶/۰
	Jun	۰/۲	۲۴/۱	۳۶/۵	۱۰/۷۸	۱/۷	۱۳۹/۳
2003	Jul	۰	۲۸/۵	۳۶/۵	۱۳/۹۱	۱/۷	۱۸۸/۳
	Aug	۰	۲۶/۲	۳۶/۵	۱۲/۲۴	۱/۷	۱۵۳/۱
	Sep	۰	۲۱/۴	۳۶/۵	۹/۰۴	۱/۷	۹۷/۴
	Oct	۱/۴	۱۸/۳	۳۶/۵	۷/۱۰	۱/۷	۷۰/۶
	Nov	۴۷	۸/۸	۳۶/۵	۲/۳۵	۱/۶	۱۸/۹
	Dec	۱۴/۷	۴/۳	۳۶/۵	۰/۷۸	۱/۷	۵/۴



شکل (۱) طرح واره‌ی محاسبه‌ی شاخص خشکسالی پالمر

اپوآمترهای جدول شماره (۳) به شرح زیر است:

P: بارندگی به میلی‌متر.

T: درجه‌ی حرارت به سانتی‌گراد.

Lat: عرض جغرافیایی.

I: شاخص حرارت ماهانه بوده، که از رابطه‌ی زیر برای هر ماه قابل محاسبه است.

$$(1) i = (T_i / 5)^{1.514}$$

ETP برای محاسبه این پارامتر از رابطه‌ی زیر استفاده می‌شود:

$$(2) ETP = 1.6 (10T_i / I) \alpha$$

در این رابطه

T: درجه‌ی حرارت،

I: شاخص حرارتی سالانه که مجموع شاخص‌های حرارتی ماهانه بوده و از رابطه‌ی زیر به دست می‌آید.

$$(3) I = \sum_{i=1}^{12} (T_i / 5)^{1.514} = \sum_{i=1}^{12} i$$

α : از رابطه زیر محاسبه می‌شود:

$$(4) \alpha = 0.000000675 I^3 - 0.0000771 I^2 + 0.01792 I + 0.49239$$

پس از برآورد پتانسیل تبخیر - تعرق ماهانه، تبدیل داده‌های درجه‌ی حرارت از مقیاس سانتی‌گراد به فارنهایت (Tf) و محاسبه‌ی میلگین ماهانه‌ی دما (Avg T) در جدول (۴) ادامه می‌یابد. آن‌گاه داده‌های بارش ماهانه به اینچ (Pin) تبدیل شده و میلگین ماهانه‌ی این پارامتر نیز محاسبه می‌شود. مشابه این عملیات در مورد تبخیر - تعرق پتانسیل هم اجرا می‌شود. در ستون بعدی از جدول (۴) تفاوت بارندگی و تبخیر - تعرق پتانسیل ماهانه (P-PE) محاسبه می‌شود که مبنای محاسبه‌ی بیلان آبی و برآورد مقدار و تغییرات محتوی آب است (ΔSs, ΔSu, Ss, Su) و در آخرین ستون جدول (۴) مقدار کل رطوبت موجود خاک (S) در انتهای ماه محاسبه می‌شود.

جدول (۴) محاسبه و تعیین بیلان آبی و رطوبت خاک

YEAR	Month	T (f)	Avg T	P(in)	Avg p	PE	AvgPE	P-PE	ΔSs	ΔSu	Ss	Su	S
	Jan	38.57	34.6	1.19	1.5	0.14	0.1	1.04	0.27	0.77	1.00	0.81	1.81
	Feb	43.16	36.4	1.21	1.7	0.36	0.2	0.85	0.00	0.85	1.00	1.66	2.66
	Mar	48.83	46.5	1.41	2.3	0.91	0.9	0.50	0.00	0.50	1.00	2.16	3.16
	Apr	59.09	59.0	2.42	1.8	2.19	2.4	0.22	0.00	0.22	1.00	2.38	3.38
	May	64.67	66.8	1.58	1.0	3.38	4.0	-1.80	-1.00	-0.19	0.00	2.19	2.19
	Jun	75.29	75.9	0.01	0.2	5.48	5.7	-5.48	0.00	-1.20	0.00	0.99	0.99
2003	Jul	83.21	80.0	0.00	0.0	7.41	6.7	-7.41	0.00	-0.74	0.00	0.26	0.26
	Aug	79.07	76.5	0.00	0.0	6.03	5.6	-6.03	0.00	-0.15	0.00	0.10	0.10
	Sep	70.52	68.0	0.00	0.1	3.84	3.6	-3.84	0.00	-0.04	0.00	0.06	0.06
	Oct	64.85	57.1	0.06	0.3	2.78	1.9	-2.73	0.00	-0.02	0.00	0.05	0.05
	Nov	47.84	49.1	1.85	0.5	0.74	0.9	1.11	1.00	0.11	1.00	0.15	1.15
	Dec	39.65	39.2	0.58	1.1	0.21	0.3	0.36	0.00	0.36	1.00	0.52	1.52

پارامترهای جدول شماره (۴) به شرح زیر است:

PE: تبخیر و تعرق پتانسیل اصلاح شده بر حسب میلی متر که از روش تورنت وایت به شرح زیر محاسبه

می شود:

$$PE_x = 16 \left(\frac{10t}{I} \right)^4 \quad (5)$$

در این رابطه:

T: متوسط درجهی حرارت در ماه مورد نظر بر حسب سلتی گراد

I: نمایه‌ی حرارتی سالانه است که از رابطه‌ی زیر قابل محاسبه است

$$I = \left(\frac{t_n}{5} \right)^{1.514} \quad (6)$$

t_n: متوسط ماهانه‌ی درجهی حرارت بر حسب سلتی گراد است

A: ضریبی است که به نمایه‌ی حرارتی سالانه بستگی دارد و مقدار آن از رابطه‌ی زیر محاسبه می شود

$$(v) a = (675 \cdot 10^{-9}) I^3 - (771 \cdot 10^{-7}) I^2 + (179 \cdot 10^{-4}) I + 0.492$$

PE: تبخیر و تعرق اصلاح شده نیز از رابطه‌ی زیر قابل محاسبه است

$$(A) PE = PE \times \left(\frac{DN}{360} \right)$$

در این رابطه:

D: متوسط تعداد ساعات بین طلوع و غروب در ماه مورد نظر

N: تعداد روزها در ماه مورد نظر

ΔSs: تغییرات رطوبت خاک سطحی

ΔSu: تغییرات رطوبت خاک زیرین

Ss: رطوبت قابل دسترسی در سطح خاک در انتهای ماه است که عبارت است از مقدار رطوبت خاک که با کسر نقطه‌ی پژمردگی از مقدار رطوبت موجود به دست می‌آید

$$(9) Ss = P.W.P - \text{رطوبت خاک در پایان ماه}$$

Su: رطوبت قابل دسترس در لایه‌ی زیرین خاک در انتهای ماه است که از رابطه‌ی زیر قابل محاسبه است

$$(10) Ss_{[30-50cm]} = P.W.P - \text{رطوبت خاک در پایان ماه}_{[30-50cm]}$$

S: رطوبت اولیه‌ی خاک در ابتدای ماه است که این مقدار با استفاده از روش وزنی با نمونه برداری و یا شیوه‌های غیرمستقیم قابل اندازه‌گیری است.

در جدول (۵) پس از ستون‌های مربوط به سال و ماه، پتانسیل تجدید رطوبت ماهانه^۱ (PR) که مقدار اینچ رطوبت مورد نیاز برای رسیدن به ظرفیت زراعی خاک در ابتدای ماه است، محاسبه و میلگین گیری می‌شود. در ستون بعد ذخیره‌ی مجدد ماهانه‌ی رطوبت در خاک (R) که مقدار دریافتی خالص آب در لایه‌ی سطحی و زیرین خاک است، با استفاده از معادله‌ی بیلان آب تعیین می‌شود. در ستون‌های بعدی جدول (۵) پتانسیل

کاهش آب ماهانه^۱ (PL) که مقدار آبی است که می‌تواند از خاک تبخیر شود و اتلاف رطوبت از لایه‌ی سطحی و زیرین خاک طی ماه مورد نظر^۲ (L) برآورد می‌شود و به این ترتیب مقدار تبخیر - تعرق حقیقی ماهانه^۳ (ET) با استفاده از مقادیر بارندگی و تغییرات محتوی آب خاک در طول ماه قابل اندازه‌گیری است. همچنین با فرض این که مقادیر بارندگی بیشتر از حد ظرفیت زراعی خاک به رواناب^۴ (RO) تبدیل می‌شود، مقادیر ماهانه‌ی رواناب برآورد می‌شود. همچنین در جدول (۵) چهار پارامتر مهم برای محاسبه‌ی بارندگی برآوردی نیز تعیین شده است. این پارامترها (α , β , δ , γ) به صورت ضرایب ثابت برای هر یک از ماه‌های سال با روابط ویژه تعیین می‌شود. میزان بارندگی فرضی (\hat{P}) برای هر ماه از رابطه‌ی زیر محاسبه می‌شود.

جدول (۵) محاسبات اتلاف و تجدید رطوبت خاک و تعیین ضرایب ثابت معادله پالم

YEAR	Month	PR	Avg PR	R	PL	Avg PL	L	ET	RO	α	β	γ	δ
	Jan	5.23	4.8	1.04	0.14	0.1	0.00	0.14	0.0	1.60	0.28	0.0	0.07
	Feb	4.19	3.5	0.85	0.36	0.2	0.00	0.36	0.0	1.87	0.39	0.1	0.00
	Mar	3.34	2.1	0.50	0.91	0.5	0.00	0.91	0.0	1.71	0.38	0.2	0.09
	Apr	2.84	1.4	0.22	0.26	0.7	0.00	2.19	0.0	1.01	0.05	0.1	1.00
	May	2.62	2.0	0.00	0.74	1.0	1.19	2.77	0.0	0.57	0.00	0.0	1.15
	Jun	3.81	3.2	0.00	0.54	0.7	1.20	1.21	0.0	0.30	0.00	0.0	2.07
2003	Jul	5.01	4.7	0.00	0.19	0.3	0.74	0.74	0.0	0.13	0.00	0.0	2.92
	Aug	5.74	5.6	0.00	0.06	0.1	0.15	0.15	0.0	0.05	0.00	0.0	2.14
	Sep	5.90	5.8	0.00	0.02	0.0	0.04	0.04	0.0	0.05	0.00	0.0	1.49
	Oct	5.94	5.9	0.00	0.01	0.0	0.02	0.07	0.0	0.19	0.00	0.0	1.03
	Nov	5.95	5.9	1.11	0.74	0.0	0.00	0.74	0.0	0.43	0.02	0.0	0.32
	Dec	4.85	5.8	0.36	0.21	0.2	0.00	0.21	0.0	0.87	0.16	0.0	0.00

1. Pot. Moist. Loss
2. Moist. Loss
3. Evapotranspiration
3. Permanent wilting point
4. Runoff

پرومترهای جدول شماره (۵) به شرح زیر است:

PR: مقدار رطوبت مورد نیاز برای رسیدن به ظرفیت مزرعه در ابتدای ماه که بر حسب اینچ است و از طریق رابطه‌ی زیر قبل محاسبه است:

$$F.C = PR \text{ (ظرفیت نگهداری) - رطوبت خاک در ابتدای ماه (۱۱)}$$

R: افزایش رطوبت ماهانه که از رابطه‌ی زیر محاسبه می‌شود:

$$R = \text{مؤسوط رطوبت ابتدای ماه} - \text{مؤسوط رطوبت در انتهای ماه (۱۲)}$$

L: اتلاف رطوبت ماهیانه از لایه‌ی زیرین و سطحی خاک که از رابطه‌ی زیر محاسبه می‌شود

$$L = \text{مؤسوط رطوبت خاک در ابتدای ماه} - \text{مؤسوط رطوبت خاک در انتهای ماه (۱۳)}$$

PL: پتانسیل کاهش آب ماهانه، مقدار اینچ رطوبت مورد نیاز برای رسیدن به نقطه‌ی پژمردگی مزرعه در ابتدای ماه

ET: مقدار تبخیر - تعرق حقیقی است که از تأثیر ضریب گیاهی K_c در مقدار تبخیر و تعرق پتانسیل به دست می‌آید، این ضریب معمولاً کمتر از یک و بین $1/15$ - $0/25$ می‌باشد.

$$PE \times K_c = \text{تبخیر و تعرق واقعی}$$

$$ET = \sum_{i=1}^{31} ET_i \text{ (تبخیر و تعرق واقعی ماهیانه)}$$

(۱۴)

RO: رولاب ماهیانه است که از رابطه‌ی زیر محاسبه می‌شود

$$P - PR = RO_i \text{ (۱۵)}$$

در این رابطه: P بارندگی بر حسب اینچ، PR قبل از بارندگی بر حسب اینچ

$$RO = \sum_{i=1}^{31} RO_i \text{ (۱۶)}$$

برای محاسبه‌ی این مقادیر α ، β ، γ ، δ ، از جدول شماره (۵) از رابطه‌ی کلی زیر استفاده می‌شود:

$$(۱۷) \hat{P} = \alpha PE + \beta PR + \delta PRO - \delta PL$$

بارندگی فرضی مقدار بارشی است که لازم است در یک ماه بیارد تا میزان تبخیر - تعرق، رواناب و ذخیره‌ی رطوبت خاک با توجه به وضعیت رطوبت خاک در انتهای ماه قبل در حد نرمال اقلیم مورد نظر باقی بماند. ضرایب به کار رفته در محاسبه (\hat{P}) به شکل زیر محاسبه می‌شوند:

α : ضریب تبخیر - تعرق که از معادله‌ی زیر به دست می‌آید:

$$(۱۸) \alpha = \overline{ET} / \overline{PE}$$

که در آن \overline{ET} متوسط ماهانه‌ی تبخیر - تعرق حقیقی و \overline{PE} میانگین مقدار تبخیر - تعرق پتانسیل است. این ضریب در آب و هوای مرطوب نزدیک به (۱) است، اما در نواحی بسیار خشک به صفر نزدیک می‌شود.

β ، ضریب تجدید رطوبت با فرمول زیر به دست می‌آید

$$(۱۹) \beta = \frac{\overline{R}}{\overline{PR}}$$

که در آن \overline{R} متوسط افزایش رطوبت ماهانه و \overline{PR} ، متوسط میزان پتانسیل افزایش رطوبت می‌باشد. δ ضریب کاهش رطوبت که از رابطه‌ی مقابل به دست می‌آید.

$$(۲۰) \delta = \frac{\overline{L}}{\overline{PL}}$$

که در آن \overline{L} متوسط میزان کاهش رطوبت و \overline{PL} متوسط میزان پتانسیل کاهش رطوبت می‌باشد. که میزان پتانسیل رطوبت کاهش یافته مساوی میزان تبخیر - تعرقی است، که اگر هیچ بلندی در طول ماه اتفاق نیافتاده بود، رخ می‌داد.

γ ضریب رواناب است و از رابطه‌ی زیر به دست می‌آید:

$$(۲۱) \gamma = \frac{\overline{RO}}{\overline{S'}}$$

که در آن \overline{RO} ، متوسط رواناب و $\overline{S'}$ متوسط میزان رطوبت در اول ماه است:

جدول (۶) محاسبه‌ی بارندگی، برآوردی، انحراف رطوبت و شدت خشکسالی پالمیر

YEAR	Month	\hat{ET}	\hat{R}	\hat{RO}	\hat{L}	\hat{P}	d	ABS(d)	\hat{K}_i	$D_i * \hat{K}_i$	K_i	Z	XI
	Jan	0.23	1.45	0.02	0.01	1.69	-0.51	0.51	1.46	1.05	1.45	-0.73	-2.48
	Feb	0.67	1.63	0.12	0.00	2.41	-1.20	1.20	1.25	0.90	1.25	-1.50	-2.73
	Mar	1.55	1.26	0.44	0.08	3.16	-1.75	1.75	1.17	0.84	1.16	-2.03	-3.13
	Apr	2.22	0.13	0.17	0.26	2.26	0.15	0.15	1.37	0.99	1.36	0.21	-2.73
	May	1.92	0.00	0.03	0.85	1.10	0.48	0.48	1.40	1.01	1.39	0.67	-2.23
	Jun	1.65	0.00	0.00	1.12	0.53	-0.52	0.52	1.79	1.29	1.78	-0.93	-2.31
2003	Jul	0.98	0.00	0.00	0.56	0.42	-0.42	0.42	2.52	1.82	2.50	-1.06	-2.42
	Aug	0.30	0.00	0.00	0.13	0.17	-0.17	0.17	3.71	2.68	3.69	-0.63	-2.38
	Sep	0.19	0.00	0.00	0.04	0.15	-0.15	0.15	3.75	2.70	3.73	-0.57	-2.33
	Oct	0.52	0.01	0.00	0.01	0.52	-0.46	0.46	2.51	1.81	2.49	-1.16	-2.47
	Nov	0.32	0.14	0.00	0.24	0.22	1.63	1.63	2.04	1.47	2.03	3.30	-1.12
	Dec	0.19	0.77	0.00	0.00	0.96	-0.38	0.38	1.71	1.23	1.70	-0.64	-1.22

در جدول ۶، مقادیر \hat{ET} ، \hat{R} ، \hat{RO} و \hat{L} با استفاده از روابط زیر محاسبه می‌شوند:

$$\hat{ET} = \alpha \times PE \quad \text{— تبخیر-تعرق برآوردی ماهانه}$$

$$\hat{R} = \beta \times PR \quad \text{— تجدید رطوبت خاک برآوردی ماهانه}$$

$$\hat{RO} = \gamma \times S' \quad \text{— رواناب برآوردی ماهانه}$$

$$\hat{L} = \delta \times PL \quad \text{— اتلاف رطوبت خاک برآوردی ماهانه}$$

سپس با محاسبه‌ی ضرایب α ، β ، γ ، δ ، PE ، PR ، S' ، PL و در نتیجه \hat{P} محاسبه می‌شود:

در ستون بعدی جدول (۶) مقادیر d که میزان انحراف بارندگی برآوردی از بارندگی واقعی است، از رابطه‌ی مقابل به دست می‌آید

$$(22) d = P - \hat{P}$$

و سپس می‌توان D_i برای ماههای سال از رابطه‌ی زیر محاسبه می‌شود:

$$\bar{D}_i = \frac{\sum_{\text{all years}} |d_i|}{\# \text{ of years in record}} \quad (23)$$

برای محاسبه‌ی عامل توزینی K منطقه، لازم است ابتدا K' با رابطه‌ی زیر برای هر ماه معین شود

$$K_i = \frac{17.67}{\sum_{j=1}^{12} \bar{D}_j K_j^1} K_j^1 \quad (24)$$

$$K_i^1 = 1.5 \cdot \log_{10} \left[\frac{\frac{\overline{PET}_i + \bar{R}_i + \overline{RO}_i}{\bar{P}_i + \bar{L}_i} + 2.5}{\bar{D}_i} \right] + 0.5 \quad (25)$$

با محاسبه‌ی d و K تعیین شاخص انحراف رطوبت ماهانه‌ی پلمر (Z) با ضرب مقدار لحراف بارش (d) در عامل توزینی (K) در یک ماه معین امکان پذیر می‌شود (Z=Kd). عدد ثبت K، یک عامل توزینی است که از طریق تجربی به دست آمده و بستگی به تعداد اندازه گیری‌های رطوبت موجود و رطوبت مورد نیاز در اقلیم مورد نظر دارد. کاهش بارندگی از مقدار نرمال باعث کاهش مقدار Z و افزایش بارندگی باعث افزایش مقدار Z می‌شود و شاخص شدت خشکسالی (Xi) به اعداد متوالی Z بستگی دارد و X_{3i} که برای محاسبه‌ی شاخص شدت خشکسالی پلمر در زمان وقوع خشکسالی است، با رابطه‌ی زیر محاسبه می‌شود

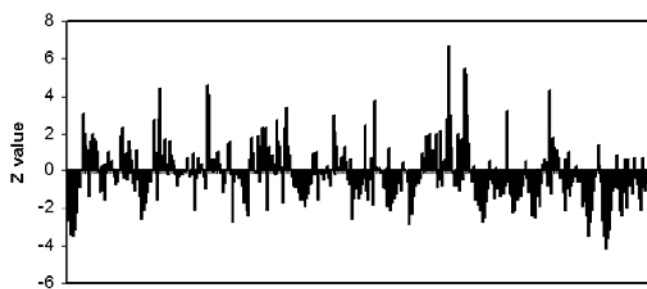
$$X_{3i} = 0.897 X_{3i-1} + \left(\frac{1}{3}\right) Z_i \quad (26)$$

در جدول (۶) مقادیر محاسبه شده اپوامترهای بالا برای یک دوره‌ی آماری ۳۳ ساله‌ی مشهد، نشان داده شده است.

۴. بحث و نتیجه گیری

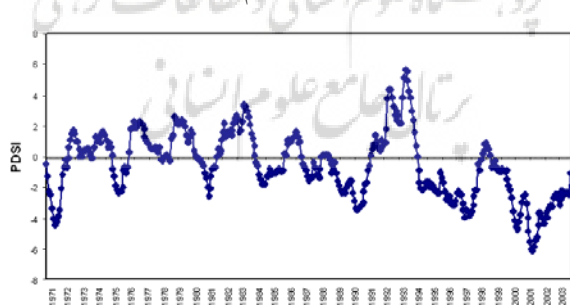
با اجرای برنامه‌ی محاسبه‌ی شاخص شدت خشکسالی پلمر برای دوره‌ی آماری ۱۹۷۱-۲۰۰۳ میلادی مشهد، نمودار ماهانه‌ی شاخص انحراف رطوبت (Z) ترسیم گردیده که در شکل (۲) نشان داده شده است. این شکل نشان می‌دهد که درجه‌ی لحراف رطوبت در مشهد بسیار زیاد است و دلای نظم خاصی نیست و

برنامه‌ریزی برای بهره‌برداری طولانی مدت محتوی آب خاک، مانند کشت دیم، با ریسک زیادی همراه خواهد بود.



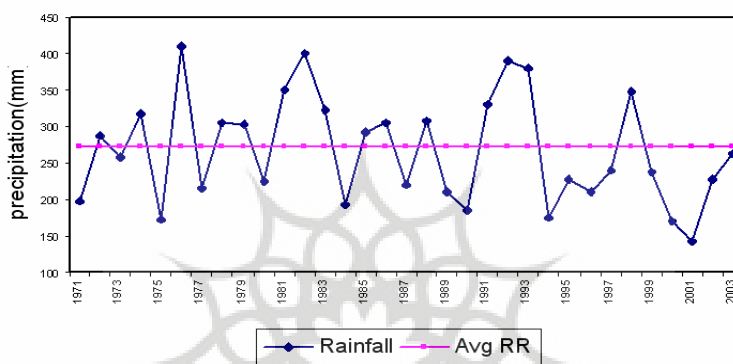
شکل (۲) نمودار انحراف رطوبت ماهانه طی دوره‌ی آماری ۱۹۷۱-۲۰۰۳

در شکل (۳) مقادیر ماهانه‌ی شاخص شدت خشکسالی پلمر (PDSI) برای دوره‌ی آماری بالا در مشهد محاسبه و نشان داده شده است. وجود دوره‌های کوتاه مدت و بلند مدت خشکسالی در مشهد، طی این دوره، حاکی از اهمیت و ضرورت لحاظ نمودن این پدیده در مدیریت توسعه و بخصوص مدیریت کشاورزی منطقه دارد. شدیدترین خشکسالی به وقوع پیوسته این دوره در سال ۲۰۰۱ میلادی و مطابق سال ۱۳۸۰ شمسی با مقدار (-۶) و در درجه‌ی "بسیار زیاد خشک" بوده و شدیدترین ترسالی در سال ۱۹۹۳ میلادی با مقدار (۵) و درجه‌ی "بسیار مرطوب" بوده است در ۳۳ سال اخیر (۸) نوبت خشکسالی حادث شده، که کوتاهترین آن دوازده ماه و طولانی‌ترین آنها شصت ماه دوام داشته است. در پایان سال ۲۰۰۳ میلادی، که معدل آذر و دی ۱۳۸۲ است، مقدار PDSI برابر با (-۱/۲) که با عبارت کمی خشک تعریف می‌شود و برای رسیدن به شرایط نرمال وقوع بارندگی بیش از میلگین در چند ماه پی در پی لازم است.



شکل (۳) محاسبه‌ی شاخص شدت خشکسالی پلمر طی دوره‌ی آماری ۱۹۷۱-۲۰۰۳

برای مقایسه‌ی بهتر و اعتماد به محاسبات انجام شده، انحراف بارش از میانگین در نمودار (۴) نشان داده شده، با مقایسه‌ی شکل‌های (۳ و ۴) تأثیر کاهش بلندی در شدت و مدت وقوع خشکسالی مشاهده می‌شود. به طور مشابه، می‌توان تمامی مراحل محاسباتی را برای دیگر نقاط استان خراسان تکرار نمود. برای این کار کافی است داده‌های ورودی با اطلاعات جدید تعویض شود، البته نبود اطلاعات دقیق مربوط به ظرفیت زراعی و قطعی پرمردگی در خاک‌های مناطق مختلف ایران، از جمله کمبودهای کاربرد این لگوست.



شکل (۴) بلندی سالانه و انحراف از میانگین در دوره‌ی آماری ۱۹۷۱-۲۰۰۳

از آن‌جا که در محاسبه‌ی شاخص شدت خشکسالی پالم از روابط تبخیر-تعرق و معادله‌ی بیلان آب تورنت وایت استفاده می‌شود و با توجه به این که در مناطقی مشابه با اقلیم مشهد محاسبه انجام شده به وسیله‌ی این روش دارای دقت مطلوب نیست و مقادیر تبخیر-تعرق در مقایسه با دیگر روش‌ها کمتر برآورد می‌شود، لذا لازم است برای محاسبه‌ی بیلان آبی از روش‌های دیگری، مانند هارگریوز، استفاده شود. البته ذکر این نکته ضروری است که چنانچه از لگوی پلمر تنها به منظور پایش خشکسالی استفاده شود، نوع روابط محاسبه‌ی تبخیر-تعرق در خروجی نهایی چندان مؤثر نخواهد بود، زیرا در الگوی پالمر لحرافات رطوبت و محتوی آب خاک از نرمال‌های محلی، مبنای محاسبه قرار می‌گیرد. به منظور دقت بیشتر در محاسبات شاخص شدت خشکسالی پالمر، دو پارامتر Pe و $WPLM$ نیز محاسبه می‌شود. Pe احتمال پایان دوره‌ی جاری^۱ و $WPLM$

1. Probability of the current spell ending

شاخص شدت خشکسالی پالمِر وزنی^۱ است که محاسبه‌ی این پارامترها در برنامه‌ی آتی مطالعات خشکسالی می‌باشد.

منابع و مآخذ:

۱. آسیایی، مهدی و همکاران (۱۳۸۴)، مدیریت ریسک خشکسالی (شناخت و راهکارها)، چاپ اول، انتشارات، سخن گستر، مشهد.
۲. _____ (۱۳۸۴) بررسی اثرات اقتصادی بلیه خشکسالی در شهرستانهای استان خراسان، سلیمان هواشناسی کشور، پژوهشکده‌ی اقلیم شناسی.
۳. _____ (۱۳۸۵) شاخص‌های خشکسالی. چاپ اول، انتشارات سخن گستر، مشهد.
۴. _____ (۱۳۸۳) فرهنگ اصطلاحات هواشناسی و اقلیم شناسی، چاپ اول، انتشارات سخن گستر مشهد.
۵. جولفرد، سهیلا، (۱۳۸۰)، بررسی شاخص‌های خشکسالی و استاندارد نمودن آن برای مناطق مختلف کشور، گزارش نهایی طرح ملی توتک، سلیمان هواشناسی کشور پژوهشکده‌ی اقلیم شناسی.
6. Guttman, N. B. (1991), *A Sensitivity Analysis of the palmer Hydrologic Drought Index*, Water Resources Bulletin 27:767-807.
7. Kogan, F. N. (1995). *Droughts of the Late 1980's in the United Data*, Bulletin of the American Meteorological Society, 76: 655-68.
8. Miller, D. E, & C. R., Hays, (1994). *Missouri Drought Response Plan*. Water Resource Report, No. 44.
9. Palmer, W. C, (1965). *Meteorological Drought* Research paper, No. 45, U. S. weather Bureau. Washington, D. C. Feb., 58p.
10. Thornthwaite, (1955). C. W. & J. R. Mather, *The water budget and its use in irrigation*, Water-rear book of Agriculture 1955, Washington, DC: US Dept. of Agriculture, PP. 346-58.
11. Wilhite, D. A. (2000), *Drought a Global Assessment*, Vol. I.